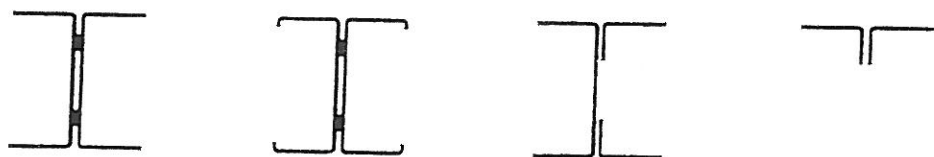


a) Jednoduché otvorené prierezy



b) Otvorené zložené prierezy



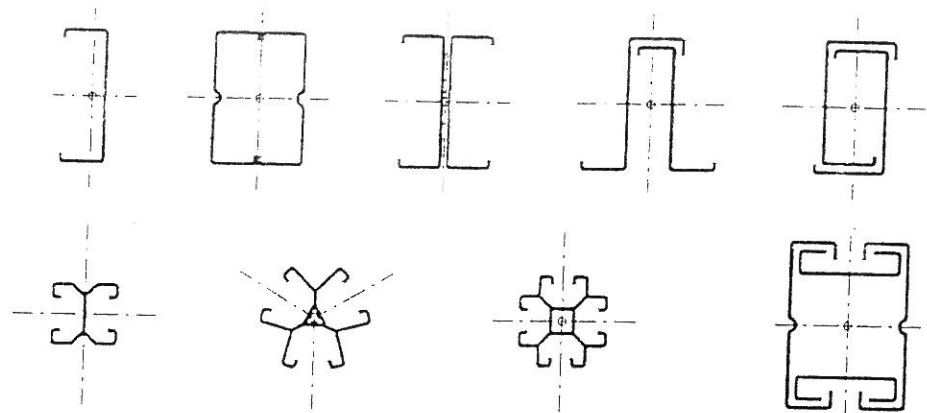
c) Uzavreté zložené prierezy

### Obrázok 1.1 - Typické tvary prierezov za studena tvarovaných prvkov

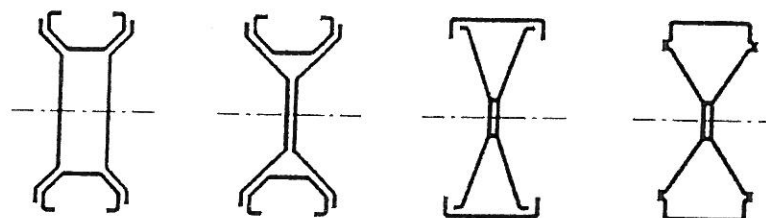
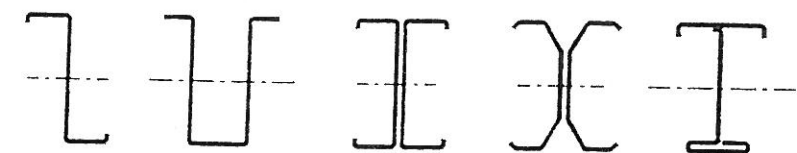
(4) Príklady prierezov za studena tvarovaných prvkov sú ukázané ďalej:

- tlačené a ťahané prvky, obrázok 1.2(a);
- nosníky a iné prvky namáhané na ohyb, obrázok 1.2(b);
- plošné profily a kazety, obrázok 1.2(c).

(5) Prierezy za studena tvarovaných prvkov a plošných profilov môžu byť nevystužené alebo môžu obsahovať pozdĺžne výstupy v stojinách, pásniciach alebo v oboch týchto častiach.



a) Čahané a tlačené prvky



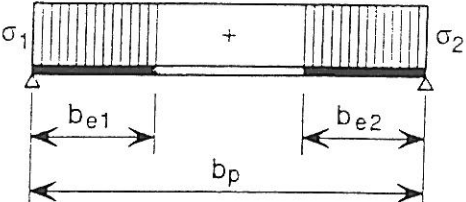
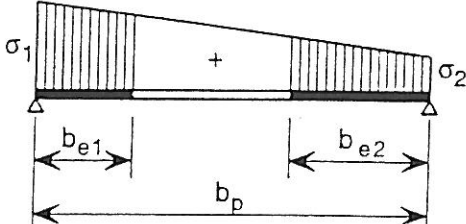
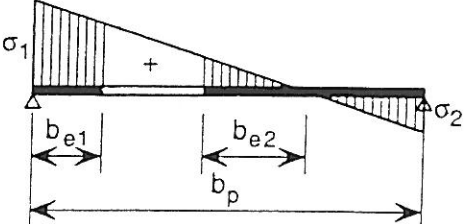
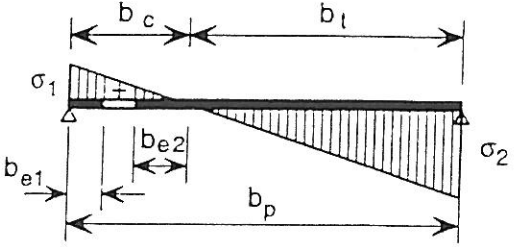
b) Nosníky a iné prvky namáhané na ohyb



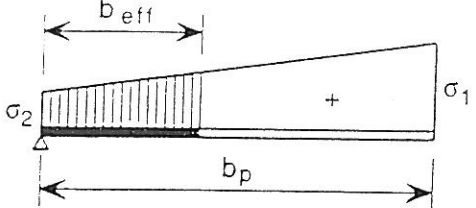
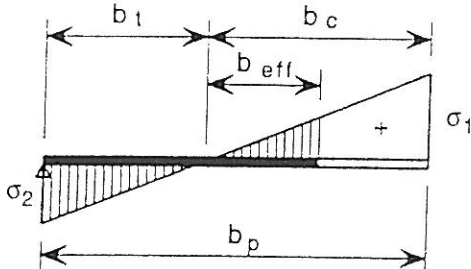
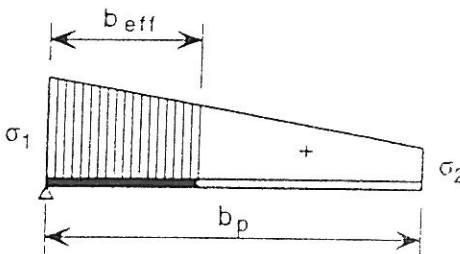
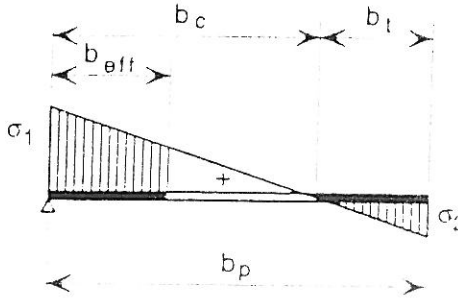
c) Plošné profily a kazety

Obrázok 1.2 - Príklady za studena tvarovaných prvkov a plošných profilov

Tabuľka 4.1 - Tlačené časti s oboma podopretými okrajmi

Priebeh napäti ( tlak je označený + )	Efektívna šírka $b_{eff}$
	$\psi = +1:$ $b_{eff} = \rho b_p$ $b_{e1} = 0,5 b_{eff}$ $b_{e2} = 0,5 b_{eff}$
	$+1 > \psi \geq 0:$ $b_{eff} = \rho b_p$ $b_{e1} = \frac{2b_{eff}}{5-\psi}$ $b_{e2} = b_{eff} - b_{e1}$
	$0 > \psi \geq -1:$ $b_{eff} = \rho b_c$ $b_{e1} = 0,4 b_{eff}$ $b_{e2} = 0,6 b_{eff}$
	$\psi < -1:$ $b_{eff} = \rho b_c$ $b_{e1} = 0,4 b_{eff}$ $b_{e2} = 0,6 b_{eff}$
$\psi = \sigma_2 / \sigma_1$	+1
$\psi = \sigma_2 / \sigma_1$	$+1 > \psi > 0$
$\psi = \sigma_2 / \sigma_1$	0
$\psi = \sigma_2 / \sigma_1$	$0 > \psi > -1$
$\psi = \sigma_2 / \sigma_1$	-1
$\psi = \sigma_2 / \sigma_1$	$-1 > \psi > -3$
Súčinitel kritického napäťia $k_c$	4,0
Súčinitel kritického napäťia $k_c$	$\frac{8,2}{1,05 + \psi}$
Alternatívne, pre $+1 \geq \psi \geq -1$ :	
	$k_c = \frac{16}{\left[ (1 + \psi)^2 + 0,112(1 - \psi)^2 \right]^{0,5} + (1 + \psi)}$

Tabuľka 4.2 - Tlačené prečnievajúce časti s jedným voľným okrajom

Priebeh napäti ( tlak je označený +)	Efektívna šírka $b_{\text{eff}}$				
	$+1 > \psi \geq 0:$ $b_{\text{eff}} = \rho b_p$				
	$\psi < 0:$ $b_{\text{eff}} = \rho b_c$				
$\psi = \sigma_2 / \sigma_1$	+1	0	-1	$+1 \geq \psi \geq -1$ (-3)	
Súčinatel kritického napäťia $k_\sigma$	0,43	0,57	0,85	$0,57 - 0,21\psi + 0,07\psi^2$	
	$+1 > \psi \geq 0:$ $b_{\text{eff}} = \rho b_p$				
	$\psi < 0:$ $b_{\text{eff}} = \rho b_c$				
$\psi = \sigma_2 / \sigma_1$	+1	$+1 > \psi > 0$	0	$0 > \psi > -1$	-1
Súčinatel kritického napäťia $k_\sigma$	0,43	$\frac{0,578}{\psi + 0,34}$	1,70	$1,70 - 5\psi + 17,1\psi^2$	23,8

pričom:

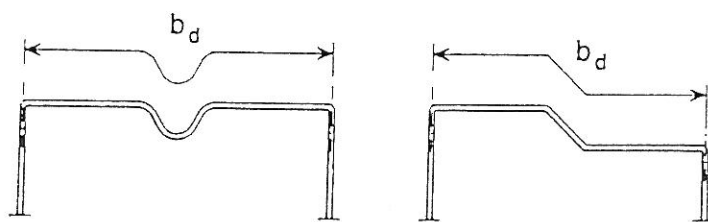
$$\delta = \frac{2h_o}{t} \sqrt{\frac{f_c}{E}} \approx \frac{h_o / t}{14.95\varepsilon} \quad \text{ale } \delta \geq 1.0 \quad (5.8)$$

Vo vzorecoch (5.6) a (5.7a) je  $\beta_i$  príslušná hodnota súčiniteľa šmykového ochabnutia z tabuľky 5.1.

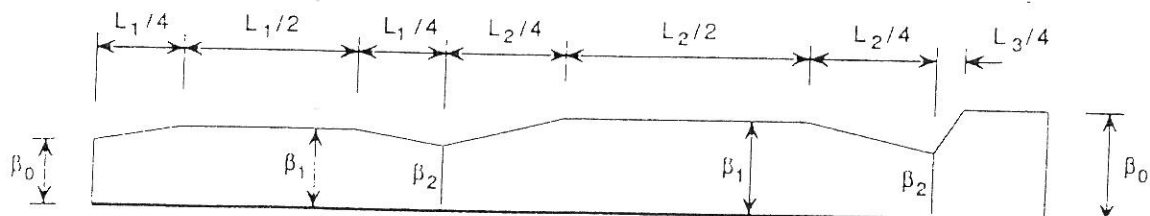
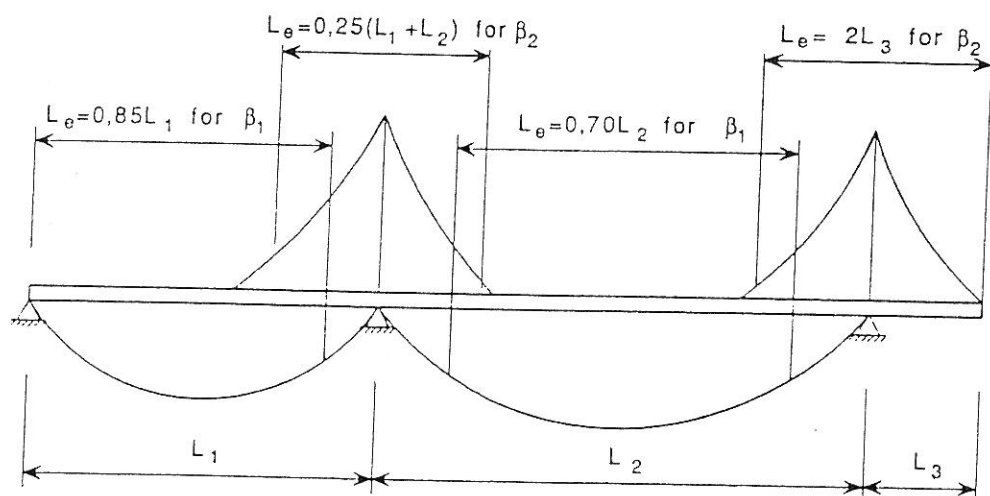
POZNÁMKA - Ďalšie informácie sú v ENV 1993-2.

(3) Pre pásnice s medziľahlými výstuhami podľa obrázka 5.5 sa  $b_o$  uvažuje ako polovica rozvinutej šírky  $b_d$ .

(4) Zjednodušene je možné pri spojítých nosníkoch vzdialenosť medzi nulovými bodmi momentovej čiary  $L_m$  nahradiť efektívnymi dĺžkami  $L_e$  podľa obrázka 5.6. Platí to pre prípady nosníkov, pri ktorých žiadne pole nie je viac než 1,5krát dlhšie ako pole susedné a žiadna konzola nie je dlhšia ako polovica prilahlého poľa.

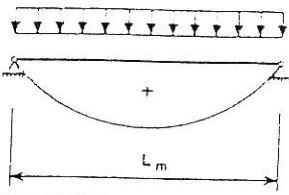
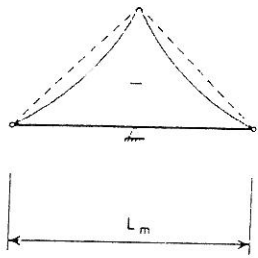
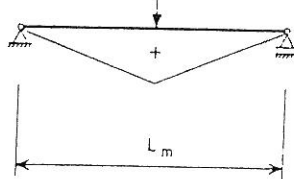
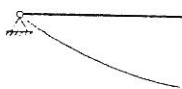
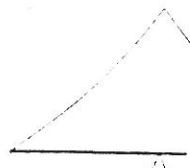


Obrázok 5.5 - Rozvinutá šírka pásnic  $b_d$  s medziľahlými výstuhami

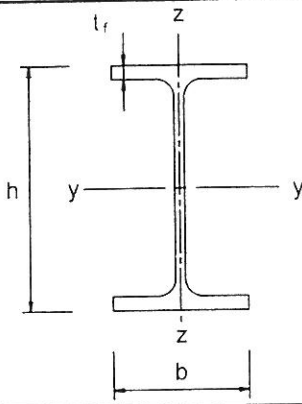
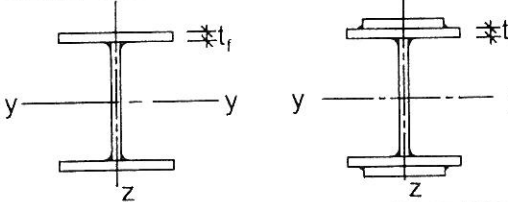
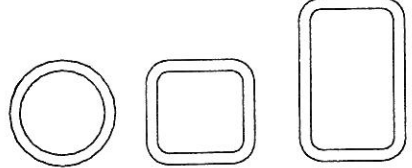
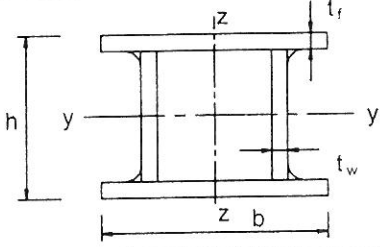
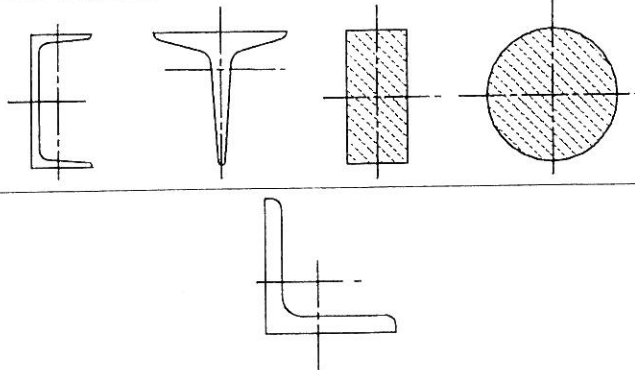


Obrázok 5.6 - Zjednodušené predpoklady pre spojité nosníky

Tabuľka 5.1 - Redukčné súčinitele  $\beta$  šmykového ochabnutia

Pripad a priebeh momentu	Zmenšovací súčinatel' $\beta$
Moment v poli prostého nosníka s rovnomerným zatážením 	pre $b_o/L_m \geq 1/20$ : $\beta_1 = \frac{1}{1 + 6,4(b_o/L_m)^2}$ pre $b_o/L_m < 1/20$ : $\beta_1 = 1,0$
Oblast pri vnútorné podpore spojitého nosníka 	pre $b_o/L_m \geq 1/20$ : $\beta_2 = \frac{1}{1 + 6,0(b_o/L_m) + 1,6(b_o/L_m)^2}$ pre $b_o/L_m < 1/50$ : $\beta_2 = 1,0$ pre $1/50 \leq b_o/L_m \leq 1/20$ : $\beta_2 = 1,155 - 7,76(b_o/L_m)$
Moment v poli prostého alebo spojitého nosníka s bremenom uprostred 	pre $b_o/L_m \geq 1/20$ : $\beta_3 = \frac{1}{1 + 4,0(b_o/L_m) + 3,2(b_o/L_m)^2}$ pre $b_o/L_m < 1/50$ : $\beta_3 = 1,0$ pre $1/50 \leq b_o/L_m \leq 1/20$ : $\beta_3 = 1,115 - 5,74(b_o/L_m)$
Koncová podpora nosníka 	$\beta_0 = (0,55 + 0,025L_{in}/b_o)\beta_1$ ale $\beta_0 \leq \beta_1$
Konzola 	$\beta_0 = 1,0$

**Table 6.2: Selection of buckling curve for a cross-section Tabuľka 6.2: Výber vzpernej krivky pre daný prierez**

Cross section Prierez		Limits Medze		Buckling about axis Vybočenie kolmo na os	Buckling curve Vzperná krivka
				S 235 S 275 S 355 S 420	S 460
Rolled sections Valcované profile		$t_f \leq 40 \text{ mm}$ $h/b \leq 1,2$	$y - y$ $z - z$	a	$a_0$
			$y - y$ $z - z$	b	$a_0$
		$40 \text{ mm} < t_f \leq 100 \text{ mm}$ $t_f \leq 100 \text{ mm}$ $t_f > 100 \text{ mm}$	$y - y$ $z - z$	c	a
		$t_f > 100 \text{ mm}$	$y - y$ $z - z$	d	c
I-sections Zvárané I-		$t_f \leq 40 \text{ mm}$	$y - y$ $z - z$	b	b
		$t_f > 40 \text{ mm}$	$y - y$ $z - z$	c	d
Hollow sections Duté mrofily		hot finished zhotovené za tepla	any ľubo-voľnej	a	$a_0$
		cold formed tvarované za studena	any j ľubo-voľnej	c	c
Welded box sections Zvárané komorové nrieczy		generally (except as below) všeobecne (okrem nižšie uvedených)	any ľubo-voľnej	b	b
		thick welds hrubé zvary: $a > 0,5t_f$ $b/t_f < 30$ $h/t_w < 30$	any ľubo-voľnej	c	c
L-sections L-profile		any ľubo-voľnej	c	c	
		any ľubo-voľnej	b	b	